

Letzte Aktualisierung der Informationen: Mai 2025

Produktkonfiguration: RD08.D8

RD08.D8: Einbauleuchte 6 Zellen - Allgemeinbeleuchtung - DALI - weiss / durchsichtig



Produktcode

RD08.D8: Einbauleuchte 6 Zellen - Allgemeinbeleuchtung - DALI - weiss / durchsichtig

Beschreibung

Einbauleuchte bestehend aus Leuchtquelle, 6-zelligem Lichttraster und Komponenten für den Betrieb. Version für hochausstrahlende Allgemeinbeleuchtung. Hauptkorpus aus extrudiertem Aluminium - eloxiertes Finish - Enddeckel aus Zamak-Guss - Matt-Finish Halterung für LED-Lichtquellen aus Polkarbonat. Befestigungsfedern aus Stahldraht. Das Optikgehäuse besteht aus einem Raster aus strukturiertem, durchscheinendem Metacrylat mit katadioptrischem System (patentierte Opti Beam Diamond-Optik) - ohne galvanische Oberflächenbehandlung - mit hochglanzbeschichteter Abdeckung aus PP Im Raster sind Blenden mit Mehrfach-Linsen für LED-Quellen integriert. Ergebnis ist eine sehr leistungsstarke Lichtausgabe kombiniert mit hoher Energieeffizienz. Dimmbares DALI-Vorschaltgerät mit der Leuchte verbunden.

Installation

Einbauleuchte mit Gegenhalterfedern aus Stahldraht; die Einbauöffnung ist an der Rasterdecke 63 x 363 vorzunehmen.

Farben

Weiß Durchsichtig (D8)

Gewicht (Kg)

0.8

Montage

Deckeneinbauleuchte

Verkabelung

komplett mit eingebauter DALI-Versorgungseinheit; Schnellanschlüsse am Vorschaltgerät.

Anmerkungen

Das Produkt ist in Konformität zur Norm EN60598-2-22 an zentrale Notlichtsysteme anschließbar.

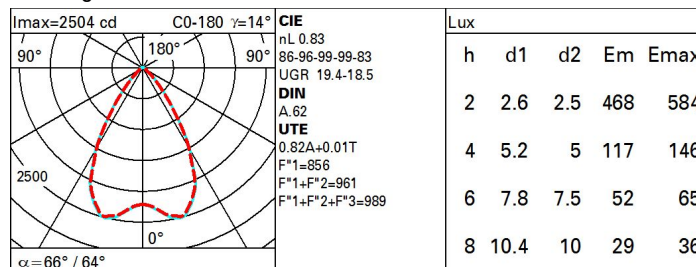
Gemäß der Normen EN60598-1 u. Sondernormen



Technische Daten

| | | | |
|---|-------|-----------------------------------|---------------------------------|
| Im System: | 2947 | Farbtemperatur [K]: | 3000 |
| W System: | 20.8 | MacAdam Step: | 3 |
| Im Lichtquelle: | 3550 | Lebensdauer LED 1: | > 50,000h - L90 - B10 (Ta 25°C) |
| W Lichtquelle: | 18 | Lampencode: | LED |
| Lichtausbeute (lm/W, Systemwert): | 141.7 | Anzahl Lampen in Leuchtengehäuse: | 1 |
| Im im Notlichtbetrieb: | - | ZVEI-Code: | LED |
| abgegebener Lichtstrom bei/ über einem Winkel von 90° [lm]: | 41 | Anzahl Leuchtengehäuse: | 1 |
| Leuchtenbetriebswirkungsgrad 83 (L.O.R.) [%]: | | Control: | DALI-2 |
| CRI (minimum): | 80 | | |

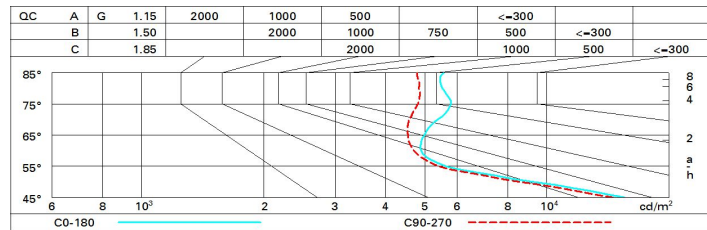
Polardiagramm



Wirkungsgrad

| R | 77 | 75 | 73 | 71 | 55 | 53 | 33 | 00 | DRR |
|------|----|----|----|----|----|----|----|----|-----|
| K0.8 | 69 | 64 | 60 | 57 | 63 | 59 | 59 | 55 | 68 |
| 1.0 | 73 | 68 | 65 | 62 | 67 | 64 | 64 | 60 | 73 |
| 1.5 | 78 | 75 | 72 | 69 | 73 | 71 | 70 | 66 | 81 |
| 2.0 | 81 | 79 | 76 | 74 | 77 | 75 | 74 | 71 | 87 |
| 2.5 | 83 | 81 | 79 | 78 | 80 | 78 | 77 | 74 | 90 |
| 3.0 | 85 | 83 | 81 | 80 | 81 | 80 | 79 | 76 | 93 |
| 4.0 | 86 | 85 | 84 | 82 | 83 | 82 | 81 | 78 | 95 |
| 5.0 | 87 | 86 | 85 | 84 | 84 | 83 | 82 | 79 | 96 |

Söller-Diagramm



UGR-Diagramm

| Corrected UGR values (at 3550 lm bare lamp luminous flux) | | | | | | | | | | |
|---|-----|------------------|------|------------|------|------|----------------|--------|------|------|
| Reflect.: | | viewed crosswise | | | | | viewed endwise | | | |
| ceiling/cav | | 0.70 | 0.70 | 0.50 | 0.50 | 0.30 | 0.70 | 0.70 | 0.50 | 0.50 |
| walls | | 0.50 | 0.30 | 0.50 | 0.30 | 0.30 | 0.50 | 0.30 | 0.50 | 0.30 |
| work pl. | | 0.20 | 0.20 | 0.20 | 0.20 | 0.20 | 0.20 | 0.20 | 0.20 | 0.20 |
| Room dim | | | | | | | | | | |
| x y | | | | | | | | | | |
| 2H | 2H | 17.9 | 18.5 | 18.2 | 18.8 | 19.0 | 17.7 | 18.3 | 18.0 | 18.9 |
| | 3H | 18.3 | 18.8 | 18.6 | 19.1 | 19.4 | 17.7 | 18.3 | 18.1 | 18.9 |
| | 4H | 18.5 | 19.1 | 18.9 | 19.4 | 19.7 | 17.7 | 18.2 | 18.1 | 18.9 |
| | 6H | 18.8 | 19.3 | 19.2 | 19.6 | 20.0 | 17.7 | 18.2 | 18.0 | 18.9 |
| | 8H | 18.9 | 19.4 | 19.3 | 19.7 | 20.1 | 17.7 | 18.1 | 18.0 | 18.8 |
| | 12H | 19.0 | 19.4 | 19.4 | 19.8 | 20.2 | 17.6 | 18.1 | 18.0 | 18.8 |
| 4H | 2H | 17.9 | 18.4 | 18.2 | 18.7 | 19.0 | 18.2 | 18.7 | 18.6 | 19.4 |
| | 3H | 18.4 | 18.9 | 18.8 | 19.2 | 19.6 | 18.4 | 18.8 | 18.8 | 19.6 |
| | 4H | 18.8 | 19.2 | 19.3 | 19.6 | 20.0 | 18.4 | 18.8 | 18.9 | 19.7 |
| | 6H | 19.3 | 19.6 | 19.7 | 20.0 | 20.5 | 18.5 | 18.9 | 19.0 | 19.7 |
| | 8H | 19.4 | 19.7 | 19.9 | 20.2 | 20.7 | 18.5 | 18.9 | 19.0 | 19.8 |
| | 12H | 19.6 | 19.8 | 20.0 | 20.3 | 20.8 | 18.5 | 18.8 | 19.0 | 19.8 |
| 8H | 4H | 18.9 | 19.2 | 19.4 | 19.7 | 20.1 | 18.9 | 19.3 | 19.4 | 20.2 |
| | 6H | 19.5 | 19.7 | 20.0 | 20.2 | 20.7 | 19.2 | 19.4 | 19.7 | 20.4 |
| | 8H | 19.7 | 19.9 | 20.2 | 20.4 | 21.0 | 19.3 | 19.5 | 19.8 | 20.5 |
| | 12H | 19.9 | 20.1 | 20.5 | 20.6 | 21.2 | 19.4 | 19.6 | 19.9 | 20.6 |
| 12H | 4H | 18.9 | 19.2 | 19.4 | 19.7 | 20.1 | 19.1 | 19.4 | 19.5 | 20.3 |
| | 6H | 19.5 | 19.7 | 20.0 | 20.2 | 20.7 | 19.3 | 19.6 | 19.8 | 20.6 |
| | 8H | 19.8 | 20.0 | 20.3 | 20.5 | 21.0 | 19.5 | 19.7 | 20.0 | 20.7 |
| Variations with the observer position at spacing: | | | | | | | | | | |
| S = | | 1.0H | 1.6 | / -1.5 | | | 1.8 | / -1.6 | | |
| | | 1.5H | | 3.4 / -1.8 | | | 3.6 | / -1.9 | | |
| | | 2.0H | | 5.0 / -1.9 | | | 5.3 | / -2.1 | | |